

## الفصل السادس

### عناصر القطاع d-

### d-BLOCK ELEMENTS

يشير مصطلح عناصر القطاع-d إلى الثلاثين عنصراً موجودة في الأعمدة العشرة (٣-١٢) في الجدول الدوري (داخل الغلاف الخلقي). إنه مصطلح مناسب أيضاً لاشتماله على عناصر الخارصين والكادميوم والزئبق، والتي من خواصها أنها مناسبة لأدرجها مع نقاش كيمياء المعادن الانتقالية. يرتبط مصطلح الفلز الانتقالi *transition metal* عادة مع تلك العناصر التي لديها مستوى-d الفرعي والممتليء جزئياً بالكترونات في ذراته أو في حالات أكسدة شائعة. وكما يوضح الجدول رقم (٦,١) أنه بموجب هذا التعريف لا يعتبر الخارصين معدناً انتقالياً، وكلٌّ من السكانديوم والنحاس مجرد اختلاف في ترتيب الكتروني واحد لكلٍّ منهما.

#### (٦,١) حالة الأكسدة المتغيرة

##### Variable Oxidation State

بالرغم من أن عناصر القطاع-d متشابهة في عددها نواح مع عناصر القطاعين s و p إلا أن لها ميلاً أكبر لإظهار حالات أكسدة متغيرة. وكمثال، يوجد أربعة فلوريدات من الفاناديوم:  $\text{VF}_2$  (أزرق)،  $\text{VF}_3$  (أخضر-أصفر)،  $\text{VF}_4$  (أخضر فاتح)،

و  $\text{VF}_5$  (عديم اللون). يوضح الجدول رقم (٦,١) الترتيب الإلكتروني للكل عنصر في الصف الأول من القطاع d مع حالات الأكسدة الشائعة له.

الجدول رقم (٦,١). الترتيب الإلكتروني للذرات وحالات الأكسدة الشائعة للعناصر في الصف الأول للقطاع d.

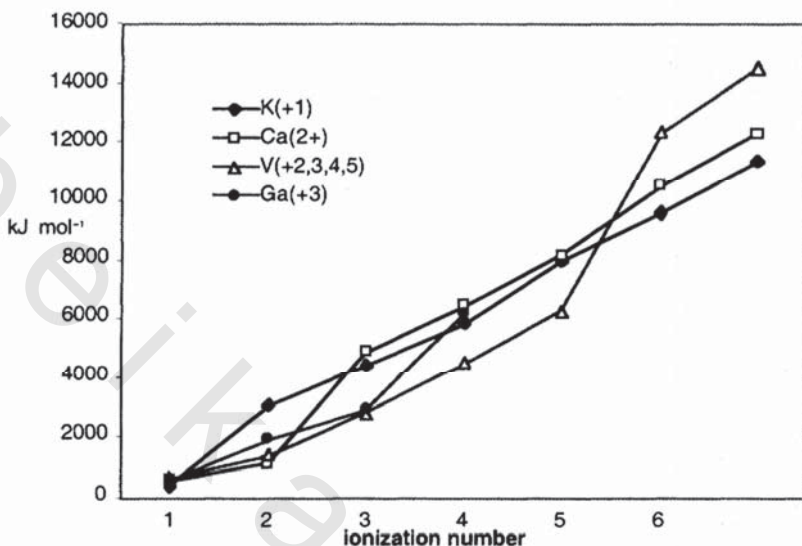
حالة الأكسدة	Sc	Ti	V	Cr	Mn	Fe	Co	Ni	Cu	Zn	
0	[Ar]	$3d^1 4s^2$	$3d^2 4s^2$	$3d^3 4s^2$	$3d^5 4s^1$	$3d^6 4s^2$	$3d^6 4s^2$	$3d^7 4s^2$	$3d^8 4s^2$	$3d^{10} 4s^1$	$3d^{10} 4s^2$
1	[Ar]										
2	[Ar]		$3d^2$	$3d^3$	$3d^4$	$3d^5$	$3d^6$	$3d^7$	$3d^8$	$3d^9$	$3d^{10}$
3	[Ar]	$3d^0$	$3d^1$	$3d^2$	$3d^3$		$3d^5$	$3d^6$			
4	[Ar]		$3d^0$	$3d^1$							
5	[Ar]			$3d^0$							
6	[Ar]				$3d^0$						
7	[Ar]					$3d^0$					

يوضح الشكل رقم (٦,١) أن طاقات التأين المتتالية للمعادن في القطاعين s و p عامة تُظهر قفزة كبيرة عند تشوّه الترتيب الإلكتروني للغاز النبيل، وهو ما يحدد حالة أكسدة المعادن في المركبات الأيونية البسيطة. بالنسبة لعناصر القطاع d مثل الفانديوم فإنه بعد فقد إلكترونات 4s، فإن بعض أو كل إلكترونات 3d يمكن إزالتها بنجاح دون قفزة مفاجئة في طاقة التأين.

## (٦,٢) العناصر الانتقالية والمركبات الملونة

### Transition Elements and Coloured Compounds

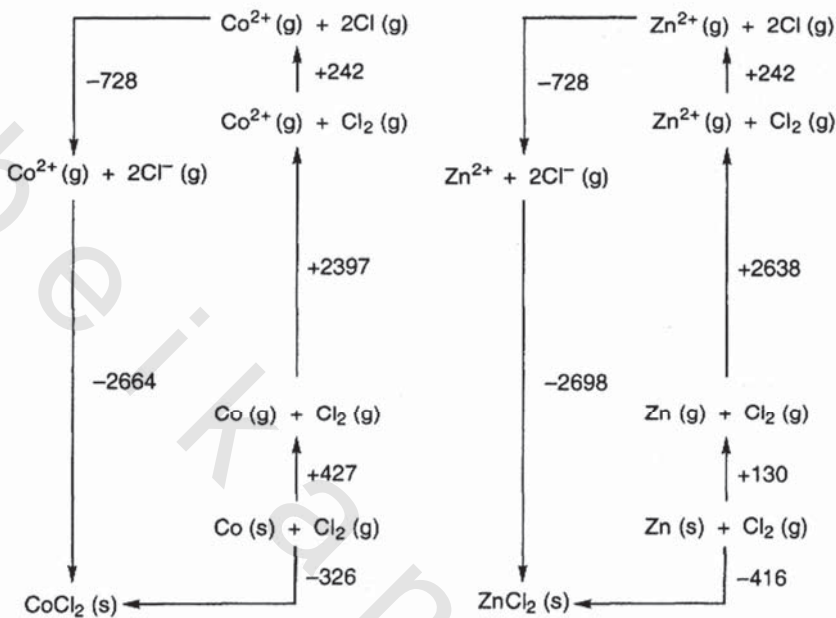
إن العديد من مركبات القطاع d، وليس كلها، غير اعتيادية في كونها ملونة. وبالتأكيد في حالات الأكسدة المنخفضة غالباً ما تكون هذه الخاصية مرتبطة بتحت



الشكل رقم (٦،١). طاقات تأين بعض العناصر. تفاعلات الأكسدة والاختزال لأنواع من معادن القطاع d مذكورة في الفقرة (٦،٧).

الأغلفة d الفرعية التي تحتوي جزئياً بالإلكترونات. تذكر أن أي عنصر لديه هذا الترتيب إما في الذرة وإما في حالات الأكسدة الشائعة يعتبر فلزاً انتقالياً.

إن الرابطة بين المركبات الملونة ومستوى d الفرعوي الممتليء جزئياً يمكن اكتشافها عن طريق مقارنة تغيرات الطاقة الداخلة في تكوين الكلوريد اللامائي :  $\text{CoCl}_2$  ، ذي اللون الأزرق ( $3d^7$ ) و  $\text{ZnCl}_2$  ، عديم اللون ( $3d^{10}$ ). توجد دلالة بسيطة لأي اختلاف عند مقارنة دورات بورن-هابر لتكوين المركبات (الشكل رقم ٦،٢). كل كلوريد أكثر استقراراً عن عناصره بفضل طاقة الشبكة الحرارية العالية والناتجة من الانجداب الشديد بين أيونات  $M^{2+}$  و  $\text{Cl}^-$  في البلورة. لبدأ بأخذ اللون الأزرق لكلوريد الكوبالت في الانتباه ، يجب أن ننتبه إلى التناقض بين الإلكترونات على أيونات المعادن والهاليدات عندما تقترب من بعضها لتكون الشبكة.

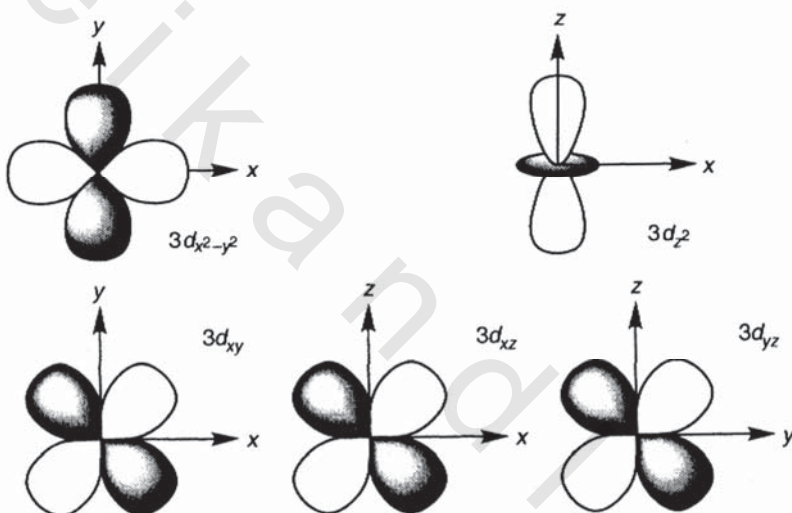


الشكل رقم (٦,٢). دورات بورن-هابر لتكوين الهايليدات  $\text{CoCl}_2(\text{s})$  و  $\text{ZnCl}_2(\text{s})$ . كل القيم معطاة بوحدة كيلوجول لكل مول.

إذا كانت أيونات  $\text{Co}^{2+}$  أو  $\text{Zn}^{2+}$  في الحالة الغازية، فإن جميع مدارات d الخامسة تكون على نفس مستوى الطاقة، ولا يهم في أي الاتجاهات تكون محاور  $x$ ،  $y$ ،  $z$ . ويتم ترتيب عمل مدارات d الخامسة في الفراغ بالنسبة لبعضها كما هو موضح في الشكل رقم (٦,٣). لا توجد ميزة للطاقة في الإلكترون الموجود في أي مدار معين. في الواقع، بالرغم من أن مدارات d عادة ما ترمز وفقاً للنظام المتناسق الديكارتي (xyz) فلا يوجد للأيون المنعزل أي إحساس بالاتجاه.

ومع ذلك، عندما تتكون الأشكال الشبكية، تعاني الإلكترونات d في الكاتيون من تنازع الإلكترونات في الأنيونات المحيطة. وتُترتيب الإلكترونات الموجودة في المدار d نفسها في الفراغ لتقليل التنازع بينها، ويتم ذلك لأبعد حد ممكن عن طريق ترتيب

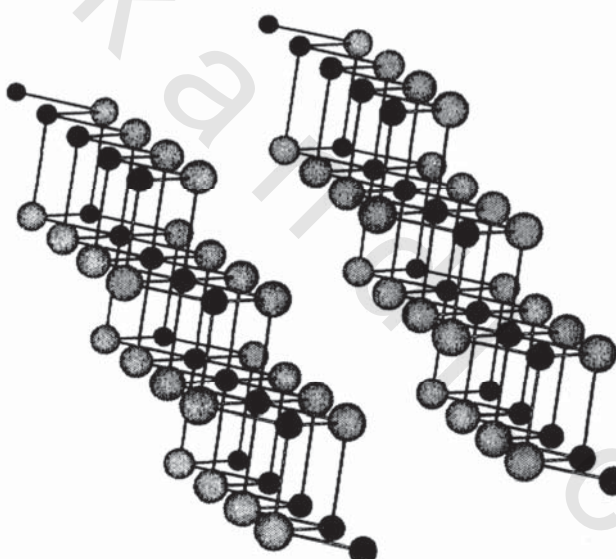
الإلكترونات لنفسها بحيث لا تتجه مباشرة نحو الأنيونات. إنها تميل إلى أن تشغل أماكن في الفراغ موجودة بين الأنيونات. يعتمد نظام توجيه مدارات  $d$  على الهندسة الفراغية للأنيونات المحيطة في الشبكة، وفي هذه الحالة تحدد اتجاهات  $x$ ،  $y$  و  $z$ ؛ لذا تقع الأنيونات على المحاور المتناسقة.



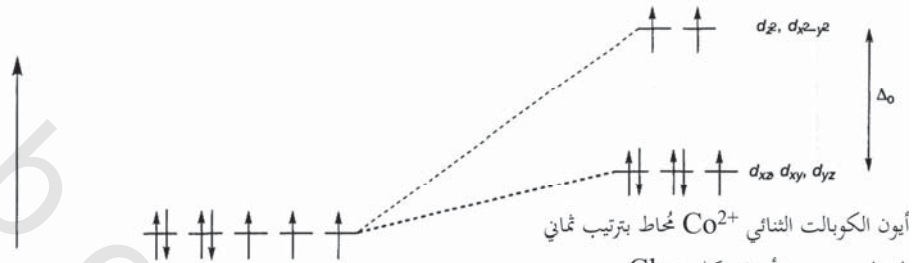
الشكل رقم (٦,٣). مدارات  $d$  الخمسة، لاحظ التغيرات في ترميزات المحاور لكل مدار.

في شبكة كلوريد الكوبالت (II) (الشكل رقم ٦,٤) كل أيون  $\text{Co}^{2+}$  في مركز الترتيب ثماني الأوجه لأنيونات  $\text{Cl}^-$  الستة. تترتب مدارات  $d$  بحيث يتجه مداري  $d_z^2$  و  $d_{x^2-y^2}$  في أيون المعدن نحو أيونات  $\text{Cl}^-$  مباشرة، وتظل المدارات الباقية  $d_{xy}$  و  $d_{xz}$  و  $d_{yz}$  موجودة بين الأنيونات. لم تعد مدارات  $d$  الآن بنفس الطاقة؛ لأن الإلكترونات التي تشغّل المدارات التي تشير مباشرة إلى أيونات الكلوريد سوف تعاني من تنافر شديد أكثر من تلك الموجودة في مجموعة المدارات الأخرى. وفي كلوريد الكوبالت (II)

اختلاف الطاقة بين مجموعتي مدارات  $d$  والتي يُشار إليها بطاقة فصل المجال البلوري *crystal field splitting energy* في ثماني الأوجه  $\Delta^0$ ، وهي أقل من الطاقة المطلوبة للتغلب على التنازع بين الإلكترونات الموجودة في نفس المدار؛ لذا فإن الترتيب الإلكتروني للحالة المستقرة لـ  $d$  سوف يوضحها الشكل رقم (٦,٥).



الشكل رقم (٦,٤). تركيب الحالة الصلبة لكلوريد الكوبالت  $\text{CoCl}_2$ . لاحظ تركيب الطبقات. كل أيون كوبالت (تظليل مظلم) محاط بستة هاليدات في صف من ثماني الأوجه.



أيون الكوبالت الثنائي  $\text{Co}^{2+}$  مفصول في الطور الغازي. تُعاني الإلكترونات في جميع المدارات من التنازع، ولكن مدارات d متكافئة، أي لها نفس الطاقة. بمدى مختلف يؤدي إلى الانفصال.

الشكل رقم (٦,٥). تأثير الترتيب الإلكتروني  $3d^7$  على أيون الكوبالت  $\text{Co}^{2+}$  عند تكون الشبكة البلورية في  $\text{CoCl}_2$ .

يُتص كلوريد الكوبالت (II) الضوء المرئي نحو النهاية الحمراء للطيف. الضوء عند هذا الطول الموجي لديه الطاقة المطلوبة لارتفاع الإلكترون من مجموعة مدارات الطاقة المنخفضة إلى الأعلى بمدارات d. الضوء في الحافة الزرقاء للطيف المرئي لا يتم امتصاصه، وهذا الضوء غير المتص هو السبب في اللون الملحوظ لكلوريد الكوبالت (II).

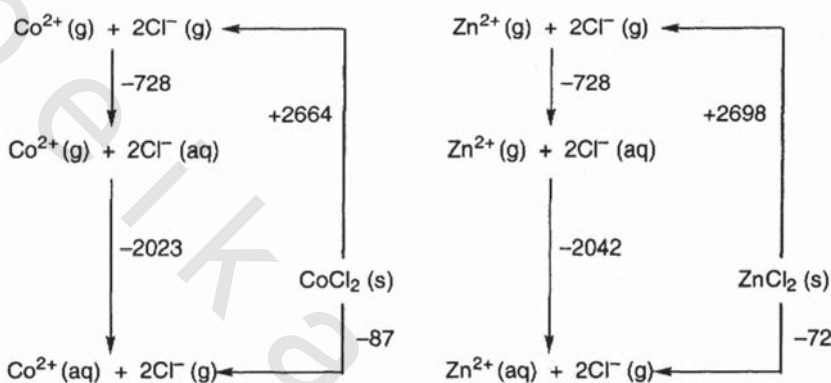
تعاني مدارات d في كلوريد الخارصين من انفصال طاقة المجال البلوري. ومع ذلك، فإن المدارات جميعها مشغولة؛ لذا لا يوجد ترق في المجموعات السفلية في المدار d لتصل إلى المجموعات الأعلى؛ لذا لا يُتص هذا المركب الضوء المرئي.

### (٦,٣) المركبات المائية: إذابة المركب المعدني في الماء

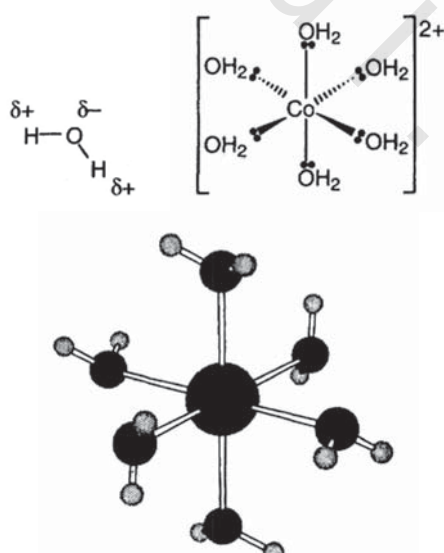
#### Aqua Complexes: Dissolving a Metal Compound in Water

ينزوب كل من كلوريد الكوبالت (II) وكلوريد الخارصين بتفاعل طارد للحرارة في الماء. وبما أن جزيئات الماء قطبية، فإنها تنجذب مباشرة إلى الأيونات والطاقة الناتجة

عن هذا الاندماج في عملية الهيدرة أكثر من كافية للتغلب على الانجداب بين الأيونات في الشبكة (الشكل رقم ٦).



الشكل رقم (٦). التغيرات في المحتوى الحراري (الإنتالبي) المصاحب لإذابة  $\text{CoCl}_2(\text{s})$  و  $\text{ZnCl}_2(\text{s})$  في زيادة من الماء. كل القيم معطاة بوحدة كيلوجول لكل مول.

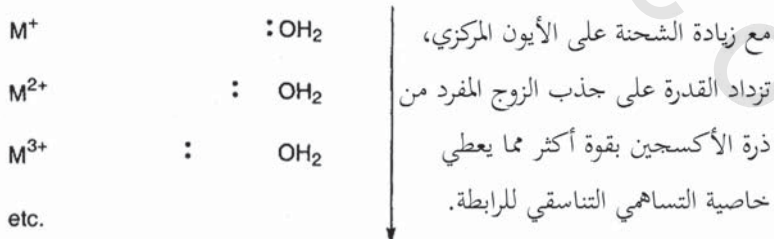


التركيب في  $[\text{Co}(\text{OH}_2)_6]^{2+}$ . المتبرعات بالزوج الإلكتروني يشار إليها أيضاً بقواعد لويس، وهي نيكليوفيلية.

كما هو متوقع من الفقرة السابقة، فإن محلول كلوريد الخارصين عديم اللون. لكن بالرغم من أن محلول كلوريد الكوبالت (II) ملون بالقرمزى، إلا أنه ليس أزرق مثل حالته الصلبة اللامائية، ويرجع السبب في ذلك إلى التغير في بيئة أيونات  $\text{Co}^{2+}$  عند الذوبان. ويتم استبدال أيونات الكلوريد المحيطة بأيون الكوبالت في الشبكية الصلبة بجزئيات الماء.

إن ترتيب الذرات الملتحقة حول  $\text{Co(II)}$  لا يزال ثمانى الأوجه، لكن تُتَجَّع جزيئات الماء طاقة فصل مجال بلوري أكثر؛ لذا تتصبض الضوء ذا الطاقة الكمية الأعلى نحو الحافة الزرقاء من الطيف. أما الضوء في الحافة الحمراء في الطيف المرئي فلا يتم امتصاصه؛ مما يؤدى إلى رؤية اللون القرمزى للمحلول.

جميع أيونات معادن القطاع d متميّة في المحلول المائي، لكنها عادةً ما تنتج فصائل لا تكون ملونة إلا إذا كان لديها مجال d فرعي متّلئ بشكل جزئي. سوف يجذب أيون الفلز المركزي زوج إلكترونات مفرداً من كل جزيء ماء إلى حد معين؛ وبالتالي يعتبر الترابط بينهم من نوع الانجداب الكهربائي الساكن والرابطة التناسقية التساهمية (الشكل رقم ٦,٧).



الشكل رقم (٦,٧). تأثير الترتيب الإلكتروني<sup>7</sup>  $3d$  في أيون الكوبالت  $\text{Co}^{2+}$  عند تكون الشبكة البلورية في



إن الأنواع مثل هيدريدات أيون الكوبالت (II) والتي تحتوي على كاتيون مركز يحيط به أزواج إلكترونات مانحة يشار إليها بالمعقدات، ويطلق على مانح الأزواج الإلكترونية ليجاند *ligand*، وعدد الروابط التناسقية المتكونة هو عدد التناسق *coordination number*. وعند كتابة الصيغة الكيميائية للمعقد فمن المعتاد كتابتها بين أقواس مربعة، على سبيل المثال:  $[Co(H_2O)_6]^{2+}$ .

جميع المعادن في الصف الأول من القطاع له حالات أكسدة مثل  $2+$  أو  $3+$  تُكون معتقدات مائية سداسية في الحاليل المائية، وفي عدة حالات يمكن بلورة المواد الصلبة من محلول المائي، ويظل الأيون المعدني المائي، ويشمل ذلك كلوريد الكوبالت (II) المتبلور القرمزي اللون، ومن الشائع الرمز إليه بـ  $CoCl_2 \cdot 6H_2O$ ، لكن التمثيل الأكثر تفصيلاً للصيغة هو  $[Co(H_2O)_6]Cl_2$ .

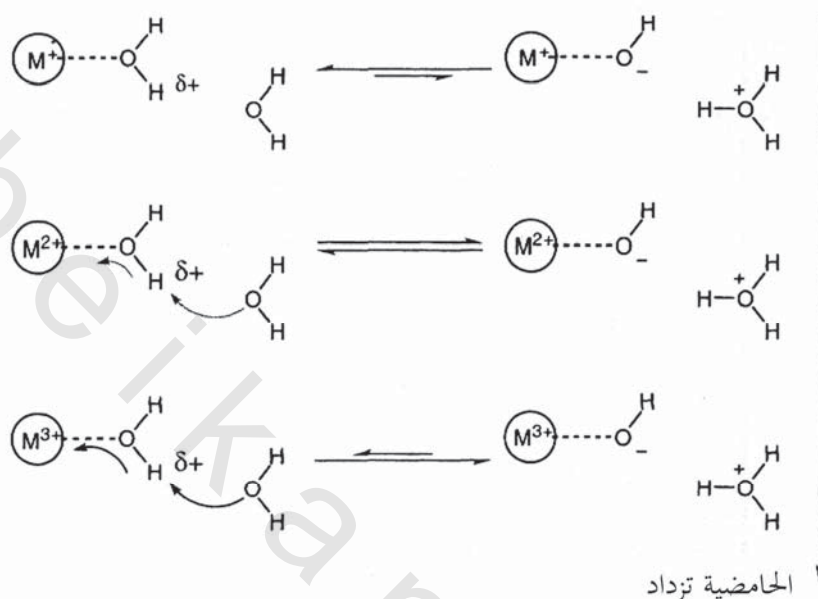
#### (٤) حامضية المعتقدات المائية

##### Acidity of Aqua Complexes

جميع الكاتيونات المتميزة أحماض إلى حد ما في محلول. تنجذب الكثافة الإلكترونية من جزيئات الماء المنتسقة مما يزيد من الشحنة الموجبة الجزئية على ذرات الهيدروجين وهو ما يجعلها عرضة أكثر للهجوم بجزيئات ماء أخرى لتنتج  $H_3O^+$  (مائي) (الشكل رقم ٦,٨).

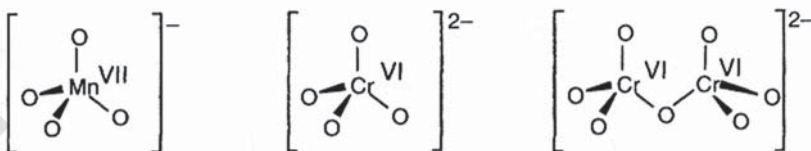
يزداد هذا الميل مع ازدياد كثافة الشحنة على الكاتيون؛ لذا  $M^{3+}$  (مائي) أكثر حامضية من  $M^{2+}$  (المائي).

لا يمكن أن تحدث تفاعلات التميّز في الحالة الصلبة، ويفسر ذلك وجود بعض أيونات  $[M(H_2O)_6]^{3+}$  بألوان مختلفة في الحالة الصلبة عنها في الحالة المائية. وكمثال على ذلك الببورات القرمزية من  $Fe(NO_3)_3 \cdot 9H_2O$  التي تذوب في الماء لتعطي محلولاً أصفر-بنياً.

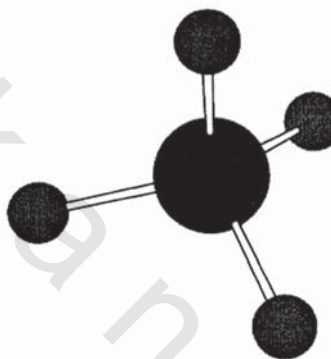


الشكل رقم (٦,٨). زيادة حامضية معقدات المعادن المائية بزيادة الشحنة.

عندما تكون حالة الأكسدة في المعادن أعلى من ٣+، يكون المجدب الإلكترونات على جزيئات الماء المتناسق قوياً جداً لدرجة أنه يمكن فقد ذرتى الهيدروجين؛ وبالتالي فإن المنجنيز (VII) في محلول المائي يكون المنجنات (VII)، [MnO<sub>4</sub>]<sup>-</sup> (أو البرمنجنات). وبالرغم من أن المنجنيز في المنجنيز (VII) ليس لديه إلكترونات في d إلا أن المركب [MnO<sub>4</sub>]<sup>-</sup> بنفسجي غامق، وفي هذه الحالة فإن امتصاص الضوء المرئي يؤدي إلى فقر الإلكترونات من المدار الممتلئ في الليجاند الخارجي إلى المدارات الفارغة في الفلز المركزي. مثل هذه الميكانيكيات لنقل الشحنة *charge transfer* مسؤولة أيضاً عن لون الأنواع الأخرى التي تحتوي على معادن القطاع d في حالة الأكسدة العالية، بما في ذلك الكرومات (VI) وثنائي الكرومات (VI) (الشكل رقم ٦,٩).



الشكل رقم (٦,٩). معقدات ملونة بسبب انتقال الشحنة من الليجاند إلى المعدن.



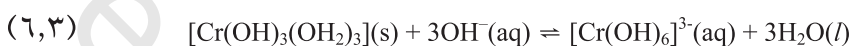
التركيب في أيون  $[\text{MnO}_4^-]$ .

للمركبات المائية السداسية تفاعلات مميزة مع القواعد الأخرى. وكمثال، فإن إضافة محلول هيدروكسيد الصوديوم إلى  $[\text{M}(\text{OH}_2)_6]^{2+/3+}$  (مائي) دائمًا ما ينتج راسبًا. تكوين الراسب بهذه الطريقة مؤشر جيد على تكون أنواع متعادلة إلكترونيًا. يتكون الراسب كهربياً نتيجة فقد  $\text{H}^+$  من العدد اللازم من جزيئات الماء المتناسقة (المعادلة رقم ٦,١ و ٦,٢).

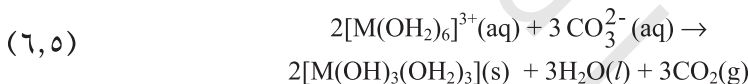
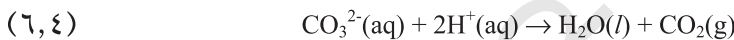


إن إضافة الحمض تزيل التوازن ناحية اليسار، ويعمل الراسب كقاعدة ويقبل  $\text{H}^+$ . يذوب الراسب مرة أخرى لتكوين المركب المائي السداسي.

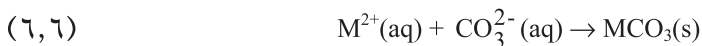
في حالات قليلة، تشمل Cr(III) و Zn(II)، إضافة الزيادة من محلول هيدروكسيد الصوديوم يذيب الراسب الابتدائي أيضاً عن طريق إزالة أيونات  $\text{H}^+$  لتكون معقد أنيوني *anionic* (المعادلة رقم ٦,٣)، ويطلق على المواد مثل [Cr(OH)<sub>3</sub>(H<sub>2</sub>O)<sub>3</sub>] التي يمكنها أن تقبل أو تمنح  $\text{H}^+$  (أو متعدد *ambiprotic* H<sup>+</sup>)



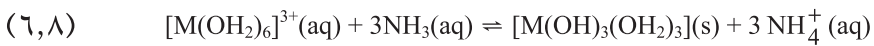
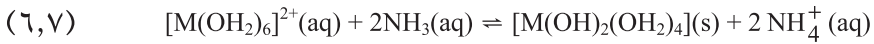
يقبل أيون الكربونات  $\text{CO}_3^{2-}$  أيضاً  $\text{H}^+$  ليكون الماء وثاني أكسيد الكربون (المعادلة رقم ٦,٤). ومع ذلك،  $\text{CO}_3^{2-}$  قاعدة أضعف بكثير من  $\text{OH}^-$  وفقط يحدث هذا التفاعل مع أحماض معتدلة القوة. كما أن إضافة محلول كربونات الصوديوم يعطي راسباً من معقد هيدروكسو *hydroxo complex* مع أيون  $\text{M}^{3+}$  (المائي) غير القابل للذوبان مع زيادة من الكاشف (المعادلة رقم ٦,٥).



بالرغم من عدم تصاعد أي غاز عند إضافة محلول كربونات الصوديوم إلى  $\text{M}^{2+}$  (مائي)، يتكون راسب، وهذه هي كربونات الفلز بدلاً من معقد الهيدروكسو المتعادل (المعادلة رقم ٦,٦).



بداية، على الأقل يتفاعل محلول النشادر المخفف بنفس طريقة هيدروكسيد الصوديوم، معطياً راسب هيدروكسيد متعادل كهرياً لكل من  $\text{M}^{2+}$  (مائي) و  $\text{M}^{3+}$  (مائي) (المعادلة رقم ٦,٧ و ٦,٨).

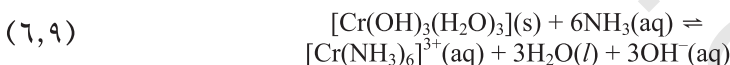


بالرغم من أن النشادر المائية قاعدة غير قوية بما فيه الكفاية لإزالة بروتونات أخرى من معقد الهيدروكسو المتعادل، فإن الراسب يذوب عند إضافة زيادة من الكاشف، وهذا يرجع إلى أنه بالإضافة لكونها قاعدة، فإنه يمكن للنشادر أن تتنافس مع الماء كليجاند (يُنح الزوج المفرد من الإلكترونات من ذرة النيتروجين إلى المعدن المركزي) مؤدياً إلى تكوين معقدات مشحونة ذاتية.

#### (٦,٥) تفاعلات تبادل الليجاند في المعقدات المائية

##### Ligand Exchange Reactions Involving Aqua Complexes

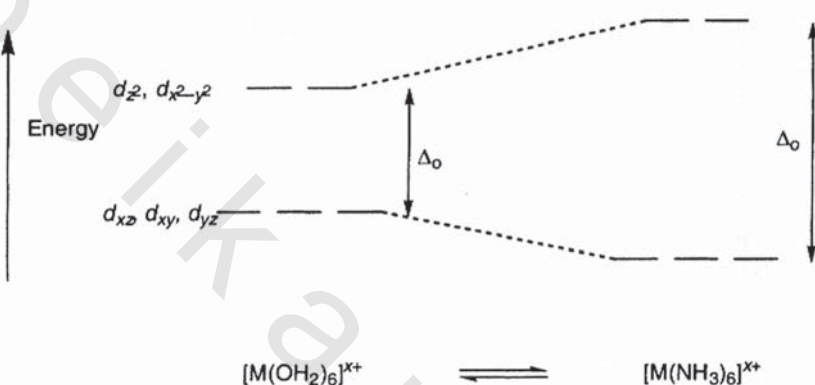
غالباً ما تذوب معقدات الهيدروكسو المتعادلة في الزيادة من محاليل النشادر المائية بسبب تبادل الليجنادات مما يتبع معقدات الأمين الكاتيونية. بما أن جزيئات الماء والنشادر تقربياً لهما نفس الحجم، فإنه لا يوجد تغيير في عدد التناسق (المعادلة رقم ٦,٩). في حالة النحاس (II)، لا تستبدل النشادر المائية جميع جزيئات الماء (المعادلة رقم ٦,١٠).



لا يذوب كلُّ من  $[Fe(OH)_3(H_2O)_3]$  و  $[Fe(OH)_2(H_2O)_4]$  في الزيادة من النشادر المائية. من الواضح أن الحديد لا يكون معقدات أمينية مستقرة في ظل هذه الظروف.

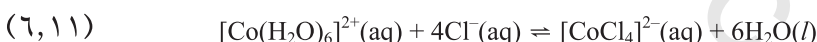
عادة ما يصاحب تبادل الليجاند تغير في اللون. وفي حالة تكوين الأمين، لا يحدث تغير في الشكل الهندسي للمعقد، لكن ليجاندات النشادر عادة ما تكون أفضل في فصل

مدارات  $d$  في المعدن عنها في الليجاندات المائية، وهذا يعني أن حزم امتصاص  $d-d$  سوف تحدث عند طاقة أعلى، أي في اتجاه المنطقة الزرقاء-البنفسجية (الشكل رقم ٦, ١٠).



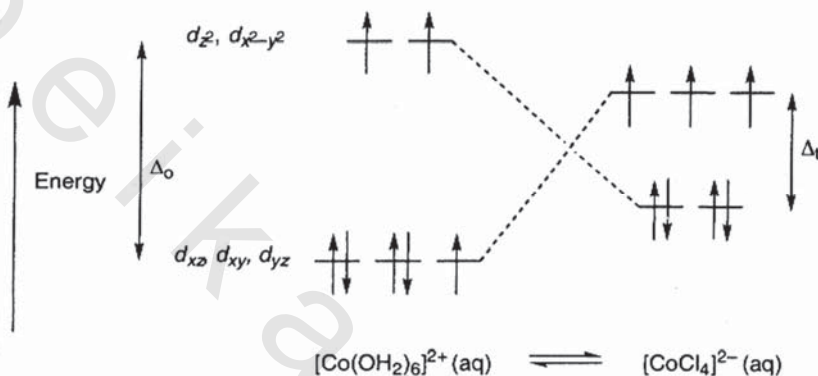
الشكل رقم (٦, ١٠). الليجاندات الأمينية تسبب في انفصال أكبر لمدارات  $d$  عنها في الليجاند المائي.

قد تحدث جزيئات الماء المتناسقة في المعقدات المائية تبادلات مع الليجاندات الأخرى. كما أن إضافة حامض الهيدروكلوريك المركز، على سبيل المثال، غالباً ما ينتج عنها معقد الكلورو رباعي الأسطح tetrahedral (المعادلة رقم ٦, ١١).

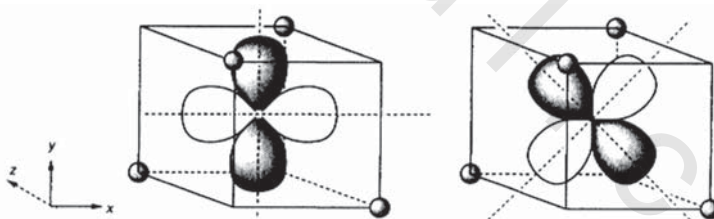


يمكن تفسير التغير في عدد التناواق هنا من حيث الأحجام النسبية للليجاندات المتناسقة، وحيث إن أيونات الكلوريد أكبر من جزيئات الماء، فإن عدداً قليلاً يمكن أن يتلاءم حول الأيون المعدني المركزي، وحيث إن الشكل الهندسي للمعقد قد تغير فإن نمط فصل مدار  $d$ ، والذي أحدهته التفاعلات مع إلكترونات الليجاند، يتغير هو الآخر. في حالة المجال البلوري رباعي الأسطح، أقل تناوار إلكتروني يمكن الحصول عليه عند توجيه مجال مدار  $d$  الموضح في الشكل رقم (٦, ١١)، وفي كلٌّ من مجموعتي مدارات  $d$

لا يشار مباشرة إلى الليجاند (الشكل رقم ٦,١٢)؛ لذا فإن طاقة فصل المعقد رباعي الأسطح،  $\Delta_h$ ، أقل من المعقد ثماني الأسطح،  $\Delta_t$ .



الشكل رقم (٦,١١). انفصال مدارات d لثمانى الأسطح (يساراً) ولرباعي الأسطح (يميناً) في مجال الكوبالت (II).



الشكل رقم (٦,١٢). مدار  $d_{x^2-y^2}$  (يساراً) و  $d_{xy}$  (يميناً) في مجال رباعي الأسطح.

ينتج تغيير اللون من القرمزي إلى الأزرق من إزاحة الامتصاص نحو الطاقة المنخفضة، أي منطقة الطيف الأحمر. وتعود هذه الإزاحة جزئياً إلى التغير في الشكل الهندسي للمعقد، وجزئياً إلى قوى الفصل الأضعف للليجاندات الكلوريد.

### تسمية المعقدات

- توجد قواعد نظامية لتسمية المركبات التناسقية. بعض هذه التقاليد الهامة موضحة أدناه.
- ١) الأنواع الكاتيونية أو الأنيونية في المعقدات تسمى بكلمة واحدة، حيث تسبق الليجننات أيون المعدن.
  - ٢) الليجننات ذات الشحنة السالبة تسمى قبل الليجننات المتعادلة، وفي كل مجموعة تدرج الليجننات بالترتيب الأبجدي.
  - ٣) أسماء ليجننات الأيونات سالبة الشحنة تنتهي بحرف الواو مثل  $\text{Cl}^-$  هو كلورو.
  - ٤) عادة ما تكون الليجننات المتعادلة أسماء عادية. تشمل الاستثناءات الليجاند الشائع  $\text{H}_2\text{O}$  الذي يطلق عليه مائي *aqua* و  $\text{NH}_3$  الذي يطلق عليه أمين *amine*.
  - ٥) عدد كل نوع من الليجاند غالباً ما يشار إليه المقاطع :

mono-	١ - أحادي
di-	٢ - ثنائي
tri-	٣ - ثلاثي
tetra-	٤ - رباعي
penta-	٥ - خماسي
hexa-	٦ - سداسي

  - ٦) إذا كان للمعقد شحنة سالبة إجمالاً يكون لاسم المعدن نهاية *ate* ، والصيغة اللاتينية تستخدم غالباً في هذه الحالة، الحديد (الفيرات)، والنحاس (الكوبيرات)، والفضة (الأرجينتات). تكتب حالة أكسدة المعدن بالأعداد الرومانية ، بين أقواس ، بعد اسمه.

٤) في المركبات الأيونية، يسمى الأيون الموجب قبل الأيون السالب بغض النظر عما إذا كان معقداً.

بالرغم من أن هذه القواعد قد تبدو معقدة، إلا أن الأمثلة التالية سوف توضح عملياً أنها سهلة التطبيق.

يحتوي على  $[Ni(OH_2)_6]^{2+}$  و  $Cl^-$ . يسمى الكاتيون في البداية ثم يليه الأنيون: سداسي الماء كلوريد النيكل (II). لاحظ الفراغ بين الأيونين، وأنه لا توجد حاجة إلى تحديد عدد أيونات الكلوريد.

مركب متعادل؛ لذا له اسم مكون من كلمة واحدة: ثلاثي الماء ثلاثي هيدروكسو الحديد (III)، لاحظ أن الليجننات مدرجة بالترتيب الأبجدي بغض النظر عن المقطع الأول.

يحتوي على  $2Na^+$  و  $[CoCl_4]^{2-}$ ، ويسمى الكاتيون أولاً ثم يليه المعد الأيوني: رباعي كلورو كوبالتات (II) الصوديوم، لاحظ أن ate هي نهاية أيونات المعد سالبة الشحنة.

## ٦,٦) أنواع الليجاند

### Types of Ligand

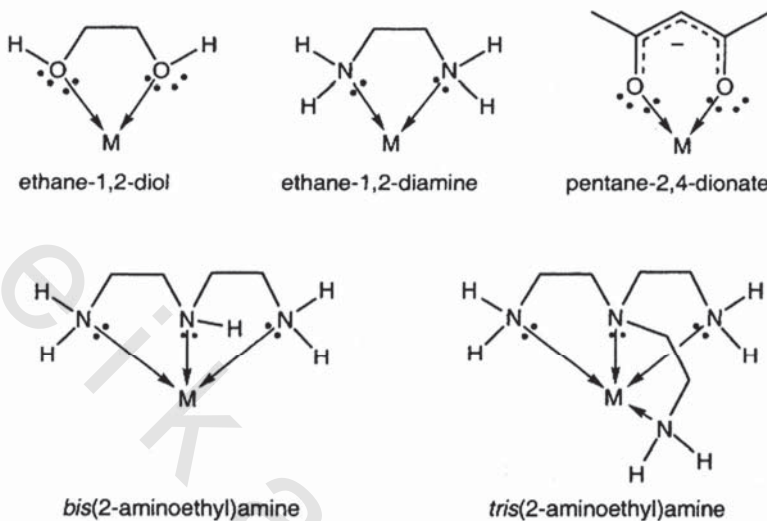
العديد من الليجننات البسيطة التي ذكرت في الأجزاء السابقة تحوي أكثر من زوج مفرد وحيد من الإلكترونات (الشكل رقم ٦,١٣). بالرغم من أن هذه الأنواع تعمل كجسر عن طريق التبرع بزوج من الإلكترونات لاثنين من أيونات المعدن في أيون ثنائي الكرومات (VI) (الشكل رقم ٦,٩)، إلا أنه يشار إليها بأحادية السن، حيث إنه يمكن لندرة واحدة فقط أن تبرع بزوج مفرد إلكتروني.



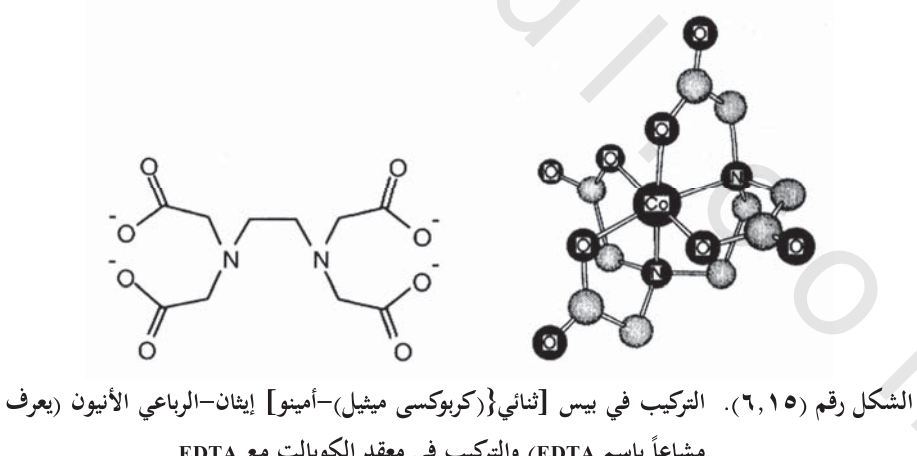
الشكل رقم (٦,١٣). بعض الليجاندات بها أكثر من زوج إلكتروني مفرد واحد.

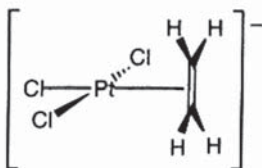
بالرغم من ذلك، بعض الليجاندات تحتوي على ذرتين أو أكثر يمكنها أن تعمل كمانحة لأزواج مفردة إلكترونية، ويوضح الشكل رقم (٦,١٤) أمثلة على هذه الليجاندات ثنائية وثلاثية ورباعية السن. إن أيون المعدن الذي يقبل زوجين أو أكثر من الإلكترونات من نفس الليجاند يصبح مشتركاً داخل نظام حلقي يعرف بالمخليات. وهذه المعدنات عامة أقل عرضة لتفاعلات التبادل عن المعدنات غير المخلبية *non-chelates* وذلك لأنه يجب كسر رابطتين تناصقيتين أو أكثر في نفس الوقت لإطلاق الليجاند. وهكذا، فإن أيون الإيثيلين ثنائي الأمين رباعي حمض الخل إلكترونية لأيون فلزي واحد، يُكوّن أشكالاً من المعدنات غاية في الاستقرار من النوع الموضح في الشكل رقم (٦,١٥).

بالرغم من أنها لا تملك أي أزواج مفردة، تعمل الألكيانات كليجاندات عن طريق منح زوج من إلكترونات الرابطة  $\pi$ ، كما في الأيون  $[\text{PtCl}_3(\text{C}_2\text{H}_4)]^-$  (الشكل رقم ٦,١٦). الجزيئات التي تحتوي على حلقة غير متمركزة من إلكترونات  $\pi$  مثل البنزين يمكنها أيضاً أن تعمل كليجاندات. مثال على ذلك في جزيئات "الساندويتش" من ثنائية بنزين الكروم  $[\text{Cr}(\text{C}_6\text{H}_6)_2]$  والفيروسين (الشكل رقم ٦,١٧).



الشكل رقم (٦, ١٤). بعض الليجاندات المتعددة السن.



الشكل رقم (٦,١٦). الأيون [PtCl<sub>3</sub>(C<sub>2</sub>H<sub>4</sub>)].

الشكل رقم (٦,١٧). جزيئات الساندويتش من الفيروسين (يساراً) وشائي بنزين الكروم (يميناً).

(٦,٧) الجهود القياسية،  $E^\circ$ ، وتفاعلات الأكسدة والاختزالStandard Potentials,  $E^\circ$ , and Redox Reactions

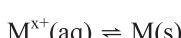
توضح هذه الفقرة مصطلح جهود القطب القياسية *standard electrode potentials*

وتوضح كيف أنها تستخدم لتوقع مسارات تفاعلات الأكسدة والاختزال. تشمل تفاعلات الأكسدة والاختزال انتقال الإلكترونات. أي نوع يفقد إلكترونات يقال عليه أنه تأكسد، بينما الذي يكتسب الإلكترونات يُقال عليه أنه اختزل. لا يمكن أن تحدث أي عملية منها منعزلة عن الأخرى بل يجب أن تحدث في نفس الوقت.

وعندما يُعمر الفلز في محلول من أيوناته، يحدث توازن بين الأكسدة والاختزال

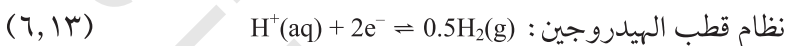
(المعادلة رقم (٦,١٢)).

(٦,١٢)

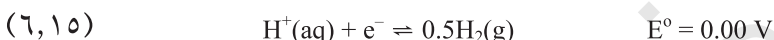
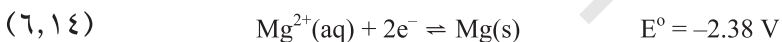


وكلما كان المعدن (M) أفضل في التخلص عن إلكتروناته، أصبحت الشحنة السالبة أعلى أثناء وصول المعدن الصلب لحالة التوازن.

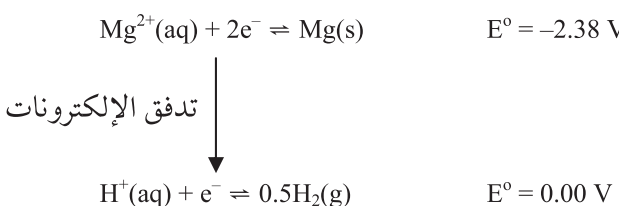
لا يمكن قياس جهد قطب الأكسدة والاختزال بمفرده، لكن يمكن قياس فرق الجهد بين أي قطبين أثناء تشغيل الخلية الكيميائية. ومثل أي توازن آخر، سوف يعتمد وضع نظام الأكسدة والاختزال على الظروف المختارة. يمكن تعريف الجهد القياسي لأي نظام بالجهد المقاس بالنسبة لقطب الهيدروجين (المعادلة رقم ٦,١٣) عند ٢٥°C وضغط جوي ومع جميع التراكيز المائية التي تساوي مولار واحد.



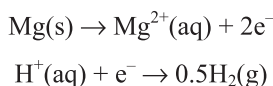
كلما زادت القيمة السالبة لجهد القطب القياسي، سهل على النظام أن يفقد الإلكترونات؛ ومن ثم تزداد قدرته الاختزالية (تضعف قدرته على الأكسدة)؛ لذا يمكننا استخدام قيم  $E^\circ$  لتخمين مسار التفاعلات التي تتضمنها توازنات الأكسدة والاختزال. على سبيل المثال، اعتبر أن إضافة معدن المغنيسيوم إلى حامض الكبريتيك المخفف. توضح المعادلة رقم (٦,١٤) و (٦,١٥) نظامي الأكسدة والاختزال الداخلية في هذا التفاعل.



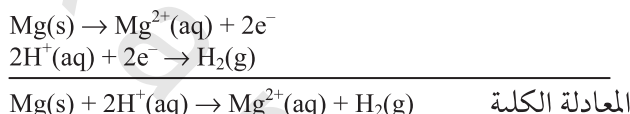
وعندما يتصل النظامين بعضهم، تتدفق الإلكترونات كلما أمكن من النظام السالب أكثر (المعادلة رقم ٦,١٤) إلى الموجب أكثر (المعادلة رقم ٦,١٥).



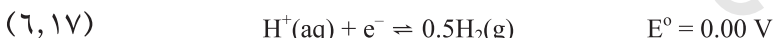
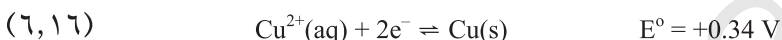
وهذا سوف يخل بتوازن الأكسدة والاختزال أعلى، وتحدث التفاعلات المنتجة أيونات المغنيسيوم المائية وغاز الهيدروجين :



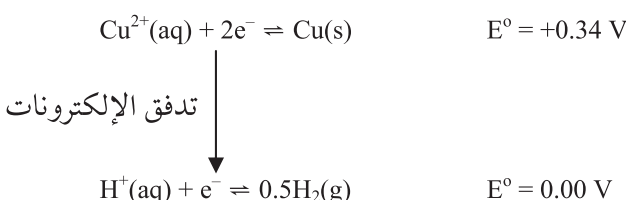
وللحصول على المعادلة العامة من الضوري التأكد من أن عدد الإلكترونات المنطلقة بواسطة العامل المختزل مساوٍ لعدد الإلكترونات المقبولة بواسطة العامل المؤكسد. وفي هذه الحالة يتم الوصول إلى هذا التوازن عن طريق مضاعفة القيم في المعادلة رقم (٦,١٥).



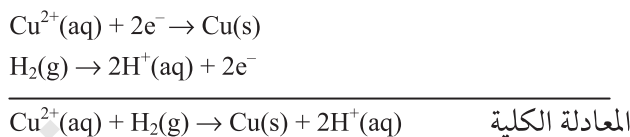
لذا، من المتوقع في هذه الحالة حدوث تفاعل بين المغنيسيوم وحامض الكبريتيك المخفف، بالرغم من أن هذا يصلح فقط إلا في الأحوال التي تُقاس فيها جهود القطب المعيارية، والآن اعتبر إضافة معدن النحاس إلى حامض الكبريتيك المخفف. وتعطي المعادلة رقم (٦,١٦) و (٦,١٧) التفاعلين موضع السؤال.



في هذه الحالة، من المتوقع تدفق الإلكترونات من نظام الهيدروجين السالب أكثر إلى نظام النحاس.



نُعطى التفاعلات المتوقعة أدناه، والتفاعل العام هو مجموعها. لذا؛ لن يتفاعل معدن النحاس مع  $H^+$  (مائي) في ظل الظروف القياسية. في الحقيقة، من المتوقع حدوث العملية العكسية، وهي اختزال  $Cu^{2+}$  بواسطة الهيدروجين.

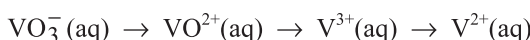


### ٦,٨) تفاعلات الأكسدة والاختزال والأثر الحفزي

#### Redox Reactions and Catalytic Action

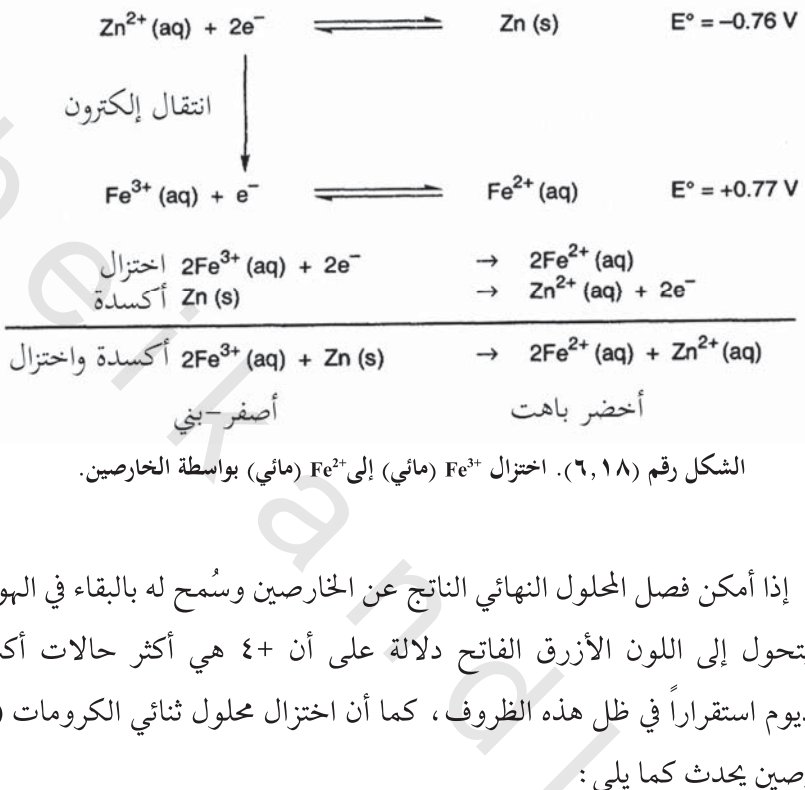
غالباً ما تُختزل العناصر الانتقالية ذات حالات الأكسدة المرتفعة في المحاليل الحامضية عن طريق العوامل الحفازة مثل معدن الخارصين. على سبيل المثال، عند إضافة الخارصين إلى محلول يحتوي على أيون الحديد الثلاثي  $Fe^{3+}$  (مائي)، فإن النتيجة اختزاله لتكوين أيون الحديد الثنائي  $Fe^{2+}$  (مائي) (الشكل رقم ٦,١٨). ينتج تغير اللون في هذا التفاعل من تغير عدد الإلكترونات الساكنة في المدارات d. وكما هو الحال مع تبادل الليجاند، فإن اللون المميز يتغير في تفاعل الأكسدة والاختزال، ويمكن استخدامه في التحليل الكيميائي.

إذا كان المعدن قادرًا على إظهار حالات أكسدة مختلفة فإن التغيرات في اللون قد تشير إلى الاختزال المتعاقب. بالنسبة للفانديوم (V) لُوحظ التتابع التالي عند الاختزال مع معدن الخارصين :

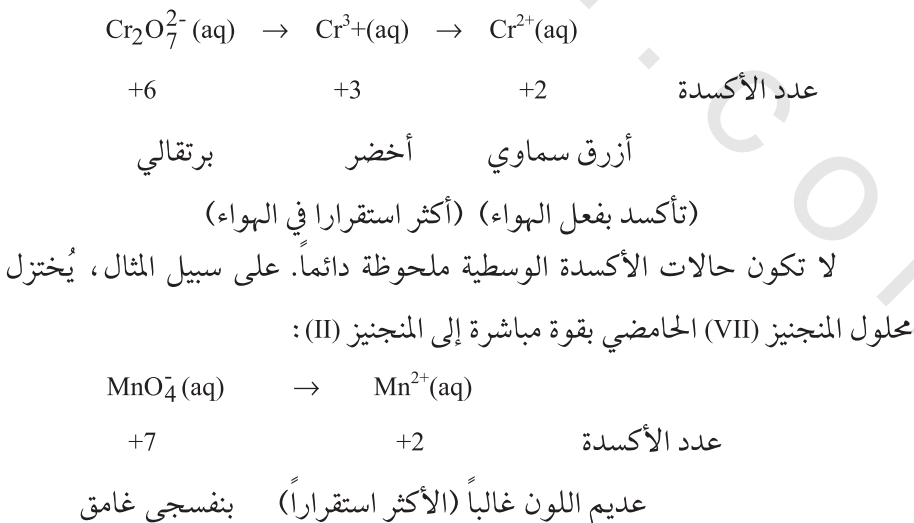


+5                  +4                  +3                  +2                  عدد الأكسدة

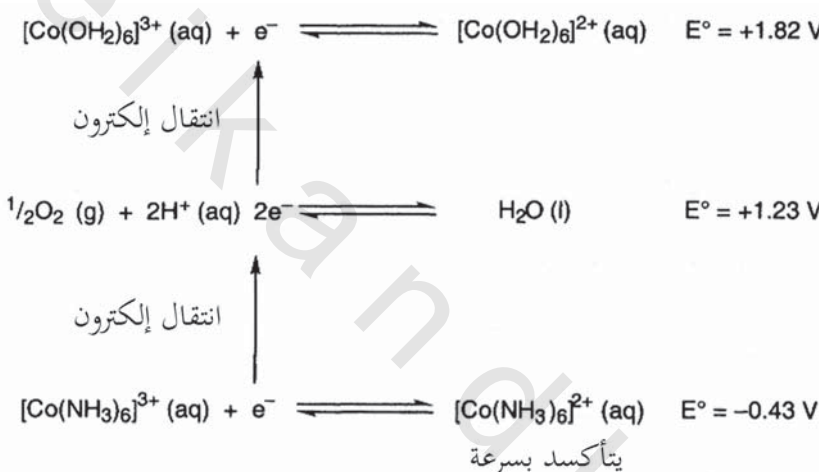
بنفسجي      أخضر      أزرق فاتح      أصفر باهت



إذاً أمكن فصل محلول النهائي الناتج عن الخارجيين وسمح له بالبقاء في الهواء، فإنه يتحول إلى اللون الأزرق الفاتح دلالة على أن +4 هي أكثر حالات أكسدة الفاناديوم استقراراً في ظل هذه الظروف، كما أن اختزال محلول ثنائي الكرومات (VI) بالخارجيين يحدث كما يلى:

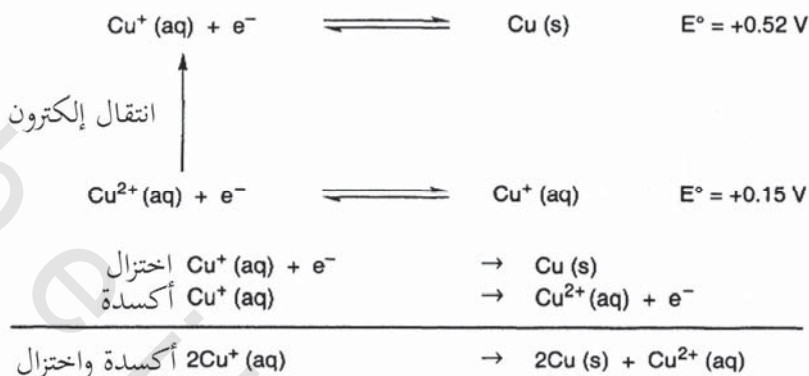


بالرغم من أن حالات الأكسدة "الأكثر استقراراً" معروفة في المعادلات السابقة، إلا أنه يجب ملاحظة أنها يمكن أن تعتمد على الظروف أو نوع الليجاند. وبالتالي ، فإن  $[Co(NH_3)_6]^{2+}$  مستقر تماماً في الهواء ، بينما  $[Co(H_2O)_6]^{2+}$  متآكسد بالفعل في ظل نفس الظروف (الشكل رقم ٦,١٩).

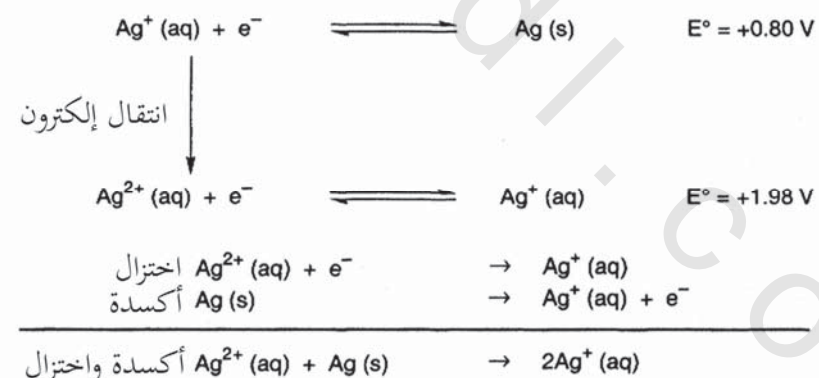


الشكل رقم ٦,١٩. الثبات النسبي في  $[Co(H_2O)_6]^{2+}$  و  $[Co(NH_3)_6]^{2+}$  في الهواء.

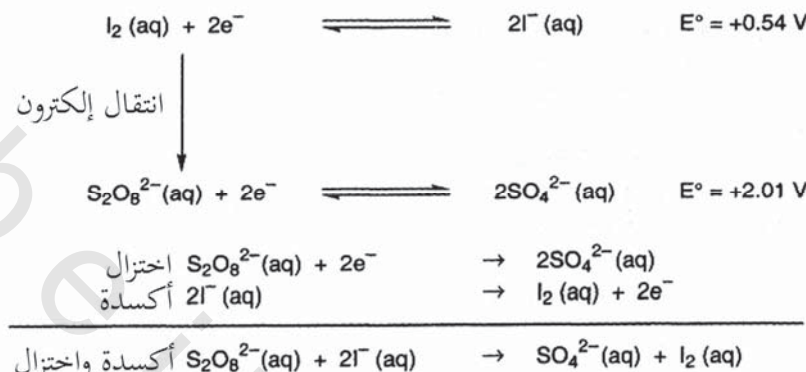
يشمل عدم التناوب Disproportionation الأكسدة الذاتية والاختزال. على سبيل المثال ، يذوب أكسيد النحاس (I) في الحامض المخفف ليعطي معدن النحاس وأيون  $Cu^{2+}$  (مائي) (الشكل رقم ٦,٢٠). بينما الفضة (I) مستقرة في المحلول المائي (الشكل رقم ٦,٢١). توجد تفاعلات الأكسدة والاختزال أيضاً عندما تعمل مركبات المعادن الانتقالية كعوامل حفازة. على سبيل المثال ، يتآكسد اليوديد إلى اليود بواسطة فوق الكبريتات في المحلول المائي (الشكل رقم ٦,٢٢).



.Cu(I) (٦,٢٠). عدم التنااسب في

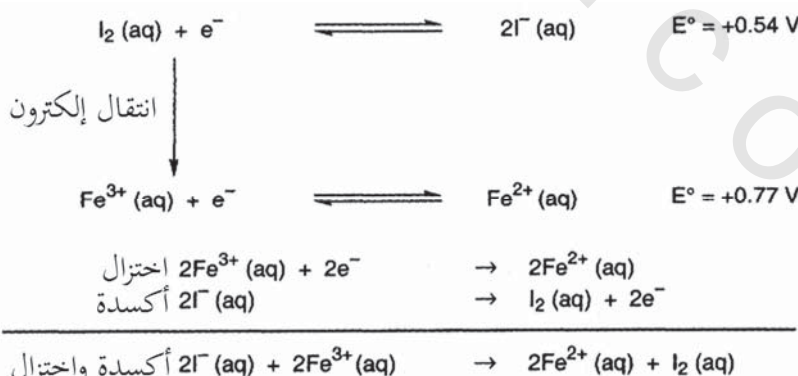


.Ag(I) (٦,٢١). لا يحدث عدم التنااسب في

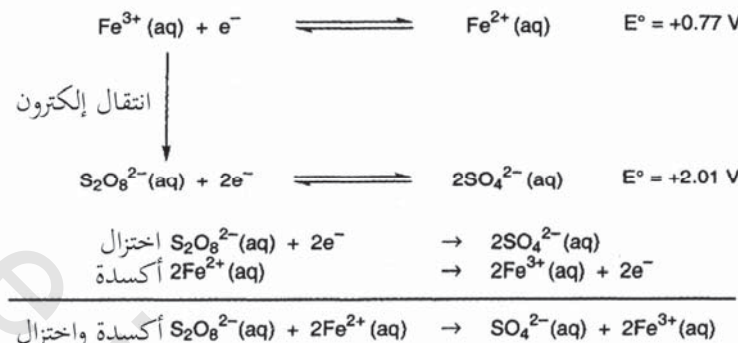


الشكل رقم (٦,٢٢). أكسدة اليوديد بواسطة فوق الكبريتات في المحلول المائي.

على الرغم من أنه مفضل جدًا أن يكون التفاعل بطريقًا جدًا؛ لأن الشحنة السالبة على كل الأنواع سوف تؤدي إلى تناحر متبادل كلما اقتربت من بعضها. ومع ذلك، إضافة الكميات الصغيرة من  $Fe^{3+}$  (مائي) تسرع التفاعل بشكل درامي عن طريق توفير مسار تفاعل بديل. تشمل الخطوة الأولى أكسدة اليوديد بواسطة الحديد (III) (الشكل رقم ٦,٢٣)، ثم يختزل فوق الكبريتات بواسطة الحديد (II) المتكون (الشكل رقم ٦,٢٤).



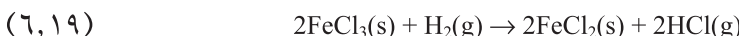
الشكل رقم (٦,٢٣). أكسدة اليوديد بواسطة الحديد (III) في المحلول المائي.



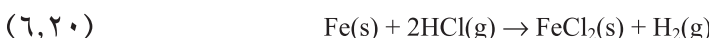
الشكل رقم (٤,٢٤). احتزال فوق الكبريتات بواسطة الحديد (II) في محلول المائي.

يعمل الحديد ك وسيط في انتقال الإلكترون من  $\text{I}^-$  إلى  $\text{S}_2\text{O}_8^{2-}$ ، وحيث إنه يسرع من التفاعل ويكون مرة أخرى، فإن  $\text{Fe}^{3+}$  (مائي) يعمل كعامل حفاز. وبالطبع، فإن  $\text{Fe}^{2+}$  (مائي) يمكن أن يكون له فعالية متساوية.

قبل ترك موضوع الأكسدة والاحتزال، تجدر الإشارة إلى تحضير الحديد من الكلوريدات اللامائية  $\text{FeCl}_2$  و  $\text{FeCl}_3$ . مرة أخرى، تعتبر الظروف مهمة في تحديد أي منتج سيتكون. فإذا سُخِّنَ الحديد في بخار من الكلور، فإن الطبيعة المؤكسدة للهيدروجين تعني إنتاج الكلوريد الأعلى (المعادلة رقم ٦,١٨). ويمكن أن يُختزل إلى كلوريد الحديد (II) بتسخينه في بخار الهيدروجين (المعادلة رقم ٦,١٩).



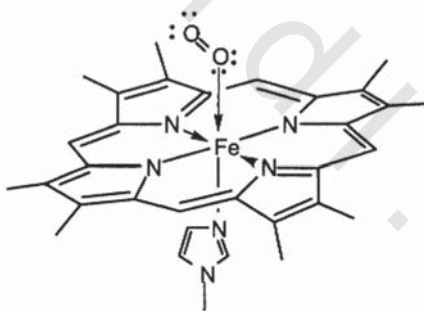
يمكن تحضير كلوريد الحديد (II) مباشرةً من المعدن عن طريق تسخينه في بخار غاز كلوريد الهيدروجين، ويضمن الهيدروجين الناتج أيضًا تكون حالة أكسدة أقل (المعادلة رقم ٦,٢٠).



### ٦,٩) بعض مركبات القطاع d الهامة

#### Some Important d-Block Compounds

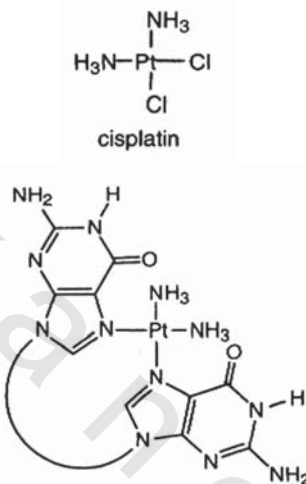
في المكان المتاح هنا يمكن فقط إعطاء نكهة لأهمية وتنوع استخدامات مركبات القطاع d. يمكن القول إن الحياة الحيوانية نفسها تعتمد على معقدات المعادن الانتقالية مثل الهيموجلوبين *haemoglobin*. هذا الجزيء، الذي يحتوي على  $\text{Fe}^{2+}$  في مركز مجموعة الهيم رباعية السن يعمل كحامل للأكسجين في الدم عن طريق قبول زوج وحيد مفرد من إلكترونات  $\text{O}_2$  (الشكل رقم ٦,٢٥). يعتبر أول أكسيد الكربون ساماً؛ لأنّه يتحد بقوة أكثر مع الحديد عنه في جزيء الأكسجين. المرضى الذين يعانون من أنواع معينة من فقر الدم يتم معالجتهم بأقراص تحتوي على كبريتات الحديد (II) التي ترفع مستويات الحديد في الدم.



الشكل رقم (٦,٢٥). طبيعة الهيموجلوبين موضحة تناص ثانوي للأكسجين.

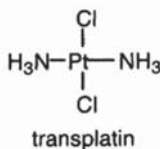
إن أكثر العقاقير المضادة للسرطان نجاحاً ليست جزيئات عضوية معقدة، بل هي معقدات مربعة السطح من البلاتين. لم يكن اكتشاف الخواص المضادة للسرطان في السيس بلاتين متوقعاً بشكل كبير، وظهر من البحث العلمي في تأثير الحالات الكهربية

على المحاليل التي تحتوي على بكتيريا حية. تم اختيار البلاتين للأقطاب الكهربائية حيث إنه معدن خامل؛ ولذا من غير المحمّل أن يؤثّر على النتائج.



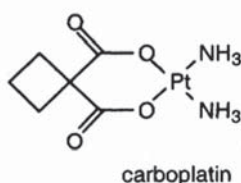
المتماكتب سيس *cis* فقط له الشكل الصحيح ليربط بنفسه بالجوانين المجاورة لسلسلة الحمض النووي بهذه الطريقة . الشكل رقم (٦,٢٦). ترابط البلاتين لشطر من الجزيء الحيوي DNA.

وُجد أنه بالرغم من أن الخلايا الفردية تنمو بشكل طبيعي، إلا أن تكون خلايا جديدة بالانقسام مثبّط. وبعد استهلاك جميع المتغيرات الممكّنة في التجربة التي قد تكون سبب هذا التأثير استنتج الباحثون أنه ربما تفاعل البلاتين مع محلول وأنتج مركباً كيميائياً جديداً يتدخل في انقسام الخلايا. وجدوا كميات صغيرة جداً (حوالي ١٠ أجزاء في المليون) من السيس بلاتين مع نظيره الترانس بلاتين (ليجاندات الكلوريد في مواجهة بعضها بدلاً من أن تكون متجاورة). أثبتت أبحاث أخرى أنه على العكس من السيس بلاتين، ليس للترانس بلاتين أي تأثير على انقسام الخلايا.



حيث إن الأورام تنتج عن الانقسام غير المتحكم فيه للخلايا السرطانية، فمن المعقول أن يكون السيسيس بلاتين علاجاً فعالاً إذا تم حقنه مباشرة في الورم. وتأكد ذلك بالتجارب، والعقار الآن شائع ودواء فعال في سرطان الخصية بشرط أن يتم التشخيص مبكراً بوقت كافٍ.

بالرغم من أنه شديد الفعالية، إلا أن السيسيس بلاتين سام، وله آثار جانبية غير مرغوب فيها. وشجع ذلك البحث العلمي على فحص خواصه المضادة للسرطان ليتمكنوا من تطوير بدائل أكثر أماناً. ييدو أن السيسيس بلاتين يفقد ليجاندي الكلوريد ثم يتحد في موضع معين (ذرات N-7 مع ذرات الجوانين المجاورة) على سلسلة الحمض النووي DNA (الشكل رقم ٦,٢٦). في أكثر من ٢٠٠٠ مركب ذي صلة، تم إجراء تجارب طبية، ويستخدم الكاريبيو بلاتين حالياً في العيادات. يحافظ ذلك على ترتيب سيسيس *cis* لجزيئات NH<sub>3</sub> في السيسيس بلاتين، لكنه يستبدل ليجاندات الكلوريد بمجموعة عضوية. إنه بنفس فعالية السيسيس بلاتين، لكنه أقل سمية.



في الفقرة الأخيرة، تم توضيح أهمية حالة الأكسدة المتغيرة في التفاعلات المحفزة لمركبات الفلزات الانتقالية. في العملية المتصلة بتصنيع حامض الكبريتيك يستخدم أكسيد الفاناديوم (V) كعامل حافز غير متجانس لأكسدة ثاني أكسيد الكبريت إلى ثالث أكسيد الكبريت، وفي التفاعل بدون استخدام العامل المساعد (المعادلة رقم ٦,٢١) يتأكسد ثاني أكسيد الكبريت إلى ثالث أكسيد الكبريت. أما في التفاعل المحفز يتخلّى خامس أكسيد الفاناديوم عن الأكسجين لثاني أكسيد الكبريت (المعادلة رقم ٦,٢٢) قبل أن يتأكسد مرة ثانية بفعل الأكسجين (المعادلة رقم ٦,٢٣).



ت تكون أفلام التصوير أحادية اللون من مستحلب بروميد الفضة على خلفية بلاستيكية. عندما يتعرض إلى الضوء تتحلل بعض هاليدات الفضة إلى عناصرها (المعادلة رقم ٦,٢٤).



يمسّن "المظهر" هذه العملية في المناطق التي يتعرض فيها الفيلم إلى الضوء متوجّاً صورة سوداء مرئية "النيجاتيف" لمعدن الفضة. عند هذه المرحلة قد يتسبّب التعرض الأكثر لسواد الفيلم؛ لذا من المهم إزالة هاليد الفضة غير المتغيّر. يتم تثبيت الفيلم بمعالجته بمحلول ثيوكبريتات الصوديوم  $\text{Na}_2\text{S}_2\text{O}_3$  الذي يحول هاليد الفضة غير الذائب إلى المعقد  $[\text{Ag}(\text{S}_2\text{O}_3)_2]^{3-}$ ، وحيث إن لها شحنة كهربائية كليلة فإنها تذوب في الماء ويغسل من خلفيته، تاركاً صورة الفضة المعدنية وراءه.

obeikandl.com

## مراجع للقراءة

### FURTHER READING

1. Mingos, D.M.P. (1998). *Essential trends in inorganic chemistry*. Oxford University Press, Oxford, UK.
2. Sanderson, R.T. (1962). *Chemical Periodicity*. Reinhold, New York, USA.
3. Mingos, D.M.P. (1995). *Essential trends in inorganic chemistry 1*. Oxford University Press, Oxford, UK.
4. Nomran, N.J. (1997). *Periodicity as the s- and p-block elements*. Oxford University Press, Oxford, UK.
5. Winter, M.J. (1994). *Chemical bonding*. Oxford University Press, Oxford, UK.
6. Winter, M.J. (1994). *d-Block chemistry*. Oxford University Press, Oxford, UK.
7. WebElements [<http://www.webelements.com/>] — the periodic table on the WWW.
8. Housecroft, C.E. and Constable, E.C. (1997). *Chemistry – an integrated approach*. Addison Wesley Longman, Essex, UK.
9. Huheey, J.E., Keiter, E.A., and Keiter, R.L. (1993). *Inorganic chemistry – principles of structure and reactivity* (4th edn). Harper International, New York, USA.
10. Shriver, D.F., Atkins, P.W., and Langford, C.H. (1990). *Inorganic chemistry*, Oxford University Press, Oxford, UK.
11. Atkins, P. (1995). *The periodic kingdom*, HarperCollins, New York, USA.
12. Rispoli, P. and Andrew, J. (1999). *Chemistry in focus*. Hodder & Stoughton, UK.
13. Jolly, W.L. (1991). *Modern inorganic chemistry*, McGraw-Hill, Inc., New York, USA.
14. Butler, I.S. and Harrod, J.F. (1989). *Inorganic chemistry – principles and applications*, Benjamin/Cummings Publishing Co., Inc., Redwood City, California, USA.
15. Rossotti, H. (1998). *Diverse atoms – profiles of the chemical elements*. Oxford University Press, Oxford, UK.

16. Mackay, K.M. and Mackay, R.A. (1989). *Introduction to modern inorganic chemistry* (4th edn). Blackie, London, UK.
17. Porterfield, W.W. (1984). *Inorganic chemistry – A unified approach*. Addison Wesley, Reading, MA, USA.
18. Cotton, F.A., Wilkinson, G. and Gauss, P.L. (1987). *Basic inorganic chemistry* (2nd edn). John Wiley and Sons, New York, USA.
19. Purcell, K.F., and Kotz, J.C. (1985). *Inorganic chemistry* (Int. Edn). Holt Saunders, Japan.

## ث بت المصطلحات

أولاً: عربي-إنجليزي

١

Periodic trends	اتجاهات دورية
IUPAC	الاتحاد الدولي للكليماء البحتة والتطبيقية
Acids and bases	الأحماض وقواعد
Lewis acids and bases	أحماض وقواعد لويس
Shapes of p-block molecules	أشكال جزيئات القطاع p
Redox	أكسدة واحتزال
Electron affinity	الأنفة الإلكترونية
Electrons	إلكترونات
Charge transfer	انتقال الشحنة
Radioactive decay	الانحلال الإشعاعي
Ozone	الأوزون
EDTA	الإيشيلين ثنائي الأمين رباعي حمض الخل

**بـ**

Paramagnetism	بارا مغناطيسي
Protons	بروتونات
Pnictogens	بنيكتوجينيات
Buckminsterfullerene	بوكمينستر فوليرين

**تـ**

Inert pair effect	تأثير التزاوج الخامل
Ligand exchange	تبادل الليجاند
Transplatin	ترانس بلاطين
Valence Shell Electron Pair Repulsion (VSEPR)	تنافر الزوج الإلكتروني لغلاف التكافؤ (فسيبر)
$sp^2$ hybrid	تحجين $sp^2$

**ثـ**

Triads	ثلاثيات
Octahedral	ثمانى الأسطح
Dibenzenechromium	ثنائي بنزين الكروم

**جـ**

standard electrode potentials	جهود القطب القياسي
-------------------------------	--------------------

**حـ**

Oxidation states	حالات الأكسدة
Ionic size	الحجم الأيوني
d-d absorption bands	حرزم امتصاص d-d

### Sulphuric acid

حمس، الکیریتیک

### Nitric acid

حمض النيتريك

Downs cell

خلية داونز

Bond order

درجة الرابطة

Doberiner

دوسرا

## Born-Haber cycle

دورة پورن-های

## Atoms

الذرات

## Ionic bonding

رُبْطٌ أَيُونِي

## Covalent bonding

ربط تسامهي

## Metallic bonding

ربط فلزی

Glass

زجاج

## Electronegativity

السالبية الكهربية

## Cisplatin

سیس بلاطین

## ش

Metalloid	شبيه فلزي
Trigonal geometry	شكل ثلاثي الروايا
Trigonal bipyramidal geometry	شكل ثلاثي الروايا ثانوي الهرم
Linear geometry	شكل خطى
Tetrahedral geometry	شكل رباعي السطوح

## ص

Allotropism	الصورة المتأصلة
Ionization energy	طاقة التأين
Lattice energy	طاقة الشبكية
Crystal field splitting energy	طاقة فصل المجال البلوري

## ع

Coordination number	عدد التناسق
Quantum number	عدد الكلم
Principal quantum number	عدد الكلم الرئيسي
Spin quantum number	عدد الكلم المغزلي
Semi-metallic elements	عناصر شبيه فلزية

## غ

Noble gases	غازات نبيلة
-------------	-------------

**ف**

Monel metal	فلز المونيل
Transition metal	فلز انتقالي
Alkali metals	الفلزات القلوية
Alkaline earth metals	الفلزات القلوية الأرضية
Fluor spar	فلوروسبار
Ferrocene	فيروسين

**ق**

Hydrogen electrode	قطب الهيدروجين
Reducing power	قوة الاختزال
Oxidizing power	قوة الأكسدة

**ك**

Chalcogens	كالجوجينات
Sulphur	الكبريت
Electron density	الكتافة الإلكترونية
Cabroplatin	كريوبلاتين
Quartz	كوارتز

**ل**

Ligands	ليجاندات
Tridendate ligands	ليجاندات ثلاثة السن
Didentate ligands	ليجاندات ثنائية السن

Tetradentate ligands

ليجاندات رباعية السن

## ٩

Water	ماء
Meyer	ماير
Chelates	مخلبيات
Orbitals	مدارات
d orbitals	مدارات d
Hybrid orbitals	مدارات مهجنة
Aqua complexes	معقدات مائية
Mendeleev	منديليف

## ن

Ammonia	نشادر
Metallic radius	نصف قطر فلزي
Isotopes	نظائر
Bohr model	نموذج بوهر
Neutrons	نيوترونات
Newlands	نيولاند

## هـ

Halogens	هالوجينات
Hybrides	هيدريدات
Haemoglobin	هيموجلوبين

ث بت المصطلحات

١٧٩

و

Atomic weight

الوزن الذري

## ثانياً: إنجليزي - عربي

**A**

Acids and bases	الأحماض والقواعد
Alkali metals	الفلزات القلوية
Alkaline earth metals	الفلزات القلوية الأرضية
Allotropism	الصورة المتأصلة
Ammonia	نشادر
Aqua complexes	معقدات مائية
Atomic weight	الوزن الذري
Atoms	الذرات

**B**

Bohr model	نموذج بوهر
Bond order	درجة الرابطة
Born-Haber cycle	دورة بورن - هابر
Buckminsterfullerene	بوكمينستر فوليرين

**C**

Cabroplatin	كريوبلاتين
Chalcogens	كالجوجينات
Charge transfer	انتقال الشحنة
Chelates	مخليات
Cisplatin	سيس بلاتين
Coordination number	عدد التناسق
Covalent bonding	ربط تساهمي

Crystal field splitting energy	طاقة فصل المجال البلوري
<b>D</b>	
d orbitals	مدارات d
d-d absorption bands	حزم امتصاص d-d
Dibenzenechromium	ثنائي بنزين الكروم
Didentate ligands	ليجندات ثنائية السن
Doberiner	دوبيرنر
Downs cell	خلية دونز
<b>E</b>	
EDTA	الإيثيلين ثنائي الأمين رباعي حمض الخل
Electron affinity	الألفة الإلكترونية
Electron density	الكثافة الإلكترونية
Electronegativity	السالبية الكهربائية
Electrons	إلكترونات
<b>F</b>	
Ferrocene	فيروسين
Fluorospar	فلوروسبار
<b>G</b>	
Glass	زجاج
<b>H</b>	
Haemoglobin	هييموجلوبين
Halogens	هالوجينات
Hybrid orbitals	مدارات مهجنة
Hydrides	هيدريدات

Hydrogen electrode

قطب الهيدروجين

Inert pair effect

تأثير التزاوج الخامل

Ionic bonding

ربط أيوني

Ionic size

الحجم الأيوني

Ionization energy

طاقة التأين

Isotopes

نظائر

IUPAC

الاتحاد الدولي للكيمياء البحتة والتطبيقية

Lattice energy

طاقة الشبكة

Lewis acids and bases

أحماض وقواعد لويس

Ligand exchange

تبادل الليجاند

Ligands

ليجندات

Linear geometry

شكل خطوي

Mendeleev

مندليف

Metallic bonding

ربط فلزي

Metallic radius

نصف قطر فلزي

Metalloid

شبه فلزي

Meyer

ماير

Monel metal

فلز المونيل

Neutrons

نيوترونات

## ثُبَّت المصطلحات

١٨٣

Newlands

نيولاند

Nitric acid

حمض النيتريك

Noble gases

غازات نبيلة

## O

Octahedral

ثماني الأسطح

Orbitals

مدارات

Oxidation states

حالات الأكسدة

Oxidizing power

قوة الأكسدة

Ozone

الأوزون

## P

Paramagnetism

بارا مغناطيسي

Periodic trends

اتجاهات دورية

Pnictogens

بنيكتوجينيات

Principal quantum number

عدد الكلم الرئيسي

Protons

بروتونات

## Q

Quantum number

عدد الكلم

Quartz

كوارتز

## R

Radioactive decay

الانحلال الإشعاعي

Redox

أكسدة واحتزال

Reducing power

قوة الاختزال

## S

Semi-metallic elements

عناصر شبه فلزية

Shapes of p-block molecules	أشكال جزيئات القطاع p
$sp^2$ hybrid	تحجيم $sp^2$
Spin quantum number	عدد الكم المغزلي
Standard electrode potentials	جهود القطب القياسي
Sulphur	الكبريت
Sulphuric acid	حمض الكبريتيك
<b>T</b>	
Tetradentate ligands	ليجننرات رباعية السن
Tetrahedral geometry	شكل رباعي السطوح
Transition metal	فلز انتقالي
Transplatin	ترانس بلاتين
Triads	ثلاثيات
Tridendate ligands	ليجننرات ثلاثية السن
Trigonal bipyramidal geometry	شكل ثلاثي الروايا ثنائي الهرم
Trigonal geometry	شكل ثلاثي الروايا
<b>V</b>	
Valence Shell Electron Pair Repulsion (VSEPR)	تنافر الزوج الإلكتروني لغلاف التكافؤ (فسيبر)
<b>W</b>	
Water	ماء

## كتاب الم الموضوعات

الاتجاهات دورية	١٢٤
الاتحاد الدولي للكييماء البحتة	٢
والتطبيقية	٣
الأحماض والقواعد	٥٥
أحماض وقواعد لويس	١٠٨
أشكال جزيئات القطاع p	٩٩
أكسدة واختزال	١٦٠
الألفة الإلكترونية	١٦
إلكترونات e	١
انتقال الشحنة	١٥٠
الانحلال الإشعاعي	٣
الأوزون	١٢٧
الإيثيلين ثنائي الأمين رباعي حمض	
الخل	١٥٥
تهجين sp <sup>2</sup>	٣٩
ترانس بلاتين	١٦٨
تبادل الليجاند	١٥٣
تأثير التزاوج الخامل	٩٨
فت	
بارا مغناطيسي	١٢٦

١٨٦

كتاف الموضوعات

ث

دوبيرنر ١٠

ثلاثيات ١٠

دورة بورن-هابر ٣١

ثماني السطوح ١٠١

ثنائي بنزين الكروم ١٦٠

ذ

الذرات ١

ج

جهود القطب القياسي ٧٨ ، ١٦٠

ربط أيوني ٢١

ربط تساهمي ٢١

ربط فلزي ٢١

ح

حالات الأكسدة ١٣٩

الحجم الأيوني ٩٥

حزم امتصاص ١٥٢ d-d

ح

حمض الكبريتيك ٦٠

حمض النيتريلك ٦٢

ذ

زجاج ١١٦

خ

س

السالبية الكهربائية ١٦

سيس بلاتين ١٦٨

خلية دونز ٧١

د

ش

شبه فلزي ١٢

درجة الرابطة ٣٣

<b>م</b>	شكل ثلاثي الزوايا ١٠١
غازات نبيلة ١٣١	شكل ثلاثي الزوايا ثنائي الهرم ١٠١
	شكل خطبي ١٠٠
<b>ف</b>	شكل رباعي السطوح ١٠١
فلز المونيل ١٢٨	
فلز انتقالى ١٣٩	<b>ص</b>
الفلزات القلوية ٦٥	الصورة المتسلقة ١٢٧
الفلزات القلوية الأرضية ٦٥	
فلوروسبار ١٢٨	<b>ط</b>
فيروسين ١٦٠	طاقة التأين ١٤
<b>ق</b>	طاقة الشبكة ٢٨
قطب الهيدروجين ١٦١	طاقة فصل المجال البلوري ١٤٤
قوة الاختزال ١٦١	
قوة الأكسدة ١٦١	<b>م</b>
<b>ك</b>	عدد التناسق ٢٦
كالجوجينات ١٢٦	عدد الكم ٧
الكبريت ١٢٨	عدد الكم الرئيسي ٧
الكثافة الإلكترونية ٥	عدد الكم المغزلي ٧
	عناصر شبه فلزية ١٢

كتاب الم الموضوعات

١٨٨

نصف قطر فلزي ٢٦ كربوبلاطين ١٦٨

نظائر ٢

كوارتز ١١٩

نموج بوهر ٣

نيوترونات ٢

J

نيولاند ١٠

ليجاندات ١٥٤

ليجاندات ثلاثة السن ١٥٤

ليجاندات ثنائية السن ١٥٥

ليجاندات رباعية السن ١٥٥

هالوجينات ١٣٠

هيدريدات ٤٧

هيوجلوبين ١٦٦

M

ماء ١٠٥

ماير ١٠

مخليات ١٥٥

مدارات ٥

مدارات d ١٤٣

مدارات مهجنة ٣٧

معقدات مائية ١٤٦

مندليف ١٠

N

نشادر ١٠٦

1	2	3	4	5	6	7	8	9	10	11	12	13	14	15	16	17	18
IA	IIA	IIIA	IIIB	IVA	VIA	VIB	VIIA	VIIIB	VIIIA	VIIIB	VIIA	VIIIB	VIIA	VIIIB	VIIA	VIIIB	VIIIA
1	H																

1.008  
1.008  
9.0112  
24.305  
22.990  
24.305  
19.20  
19  
K  
Ca  
Sc  
Ti  
Cr  
V  
Mn  
Fe  
Co  
Ni  
Cu  
Zn  
Ga  
Ge  
As  
Se  
Br  
Kr  
83.80  
39.098  
40.078  
44.956  
47.88  
50.942  
51.996  
54.938  
55.847  
58.933  
58.693  
63.546  
65.39  
69.723  
72.61  
74.922  
78.96  
83.998  
85.997  
87.62  
88.906  
91.224  
92.906  
95.94  
(97.907)  
101.07  
102.906  
106.42  
107.868  
112.411  
114.818  
118.710  
121.757  
127.60  
126.904  
131.29  
55.56  
56  
Cs  
Ba  
Hf  
Ta  
W  
Re  
Os  
Ir  
Pt  
Au  
Hg  
Hg  
Mt  
Hs  
Bh  
Sg  
Db  
Rt  
Rt  
Ra  
Ra  
(223.020)  
(226.025)

1	2	3	4	5	6	7	8	9	10	11	12	13	14	15	16	17	18	
IA	IIA	IIIA	IIIB	IVA	VIA	VIB	VIIA	VIIIB	VIIIA	VIIIB	VIIA	VIIIB	VIIA	VIIIB	VIIA	VIIIB	VIIIA	
1	H																	
3	4	5	6	7	8	9	10	11	12	13	14	15	16	17	18			
Li	Be																	
6.341	9.0112																	
11	12																	
Na	Mg																	
22.990	24.305																	
19	20	21	22	23	24	25	26	27	28	29	30	31	32	33	34	35	36	
K	Ca	Sc	Ti	Cr	Mn	Fe	Co	Ni	Cu	Zn	Ga	Ge	As	Se	Br	Kr		
39.098	40.078	44.956	47.88	50.942	51.996	54.938	55.847	58.933	58.693	63.546	65.39	69.723	72.61	74.922	78.96	83.994		
37	38	39	40	41	42	43	44	45	46	47	48	49	50	51	52	53	54	
Rb	Sr	Y	Zr	Nb	Mo	Tc	Ru	Rh	Pd	Ag	Cd	In	Sn	Sb	Te	I	Xe	
85.468	87.62	88.906	91.224	92.906	95.94	(97.907)	101.07	102.906	106.42	107.868	112.411	114.818	118.710	121.757	127.60	126.904	131.29	
55	56	57-71	72	73	74	75	76	77	78	79	80	81	82	83	84	85	86	
CS	Ba	Hf	Ta	W	Re	Os	Ir	Pt	Au	Hg	Hg	Tl	Pb	Bi	Po	At	Rn	
132.905	137.327	178.49	180.948	183.84	186.207	190.23	192.22	195.08	196.967	200.59	204.383	207.2	208.980	(208.982)	(208.987)	(222.018)		
87	88	89-103	104	105	106	107	108	109	110	111	112	—	—	—	—	—		
Fr	Ra	Rt	Db	Sg	Bh	(262)	(262)	(262)	(265)	(266)	(271)	(272)	(272)	(272)	(272)	(272)		
(223.020)	(226.025)	(261)	(262)	(262)	(262)	(262)	(262)	(262)	(265)	(266)	(271)	(272)	(272)	(272)	(272)	(272)		

1	2	3	4	5	6	7	8	9	10	11	12	13	14	15	16	17	18	
La	Ce	Pr	Nd	Sm	Eu	Gd	Tb	Dy	Ho	Er	Tm	Yb	Lu					
138.906	140.115	140.908	144.24	(144.917)	150.36	151.965	157.25	158.925	162.50	164.93	167.26	168.934	173.04					
89	90	91	92	93	94	95	96	97	98	99	100	101	102	103				
Ac	Th	Pa	U	Np	Am	Cm	Bk	Cf	Es	Fm	Md	No	Lr					
227.028	232.038	231.036	238.029	237.048	(244.064)	(243.061)	(247.070)	(247.070)	(251.080)	(252.083)	(257.095)	(258.10)	(259.101)	(262.11)				